

北海道大学 正負 渡辺 畏  
秋田大学 正負。川上 淳

## 1. まえがき

扇形腹板の座屈に関して、著者らは、フランジの有無について、円弧方向補剛材のある場合、そして組合せ応力状態における座屈安全率について研究を行ってきた。本報告は、先に一部発表した半径方向補剛材のある場合の座屈値に加えて、フランジのないものとあるものに關し比較し、半径方向補剛材の必要剛比を求め、さらに、実験を行ったものである。

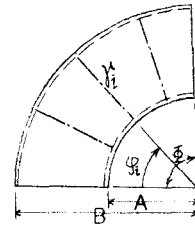
## 2. 假定

① 半径方向補剛材は、板の中立面に關し対称に設置する。 ② 半径方向補剛材を設置しても腹板内の応力分布は、変化しない。 ③ 半径方向補剛材は、作用外力による仕事としない。 ④ 半径方向補剛材のねじり剛性は無視する。

## 3. Ritz の方法

板のポテンシャルエネルギーは、(1)のとおりであり、図-1 のように、 $\psi = \psi_i$  に  $\dot{\psi}_i = EI_i/D(B-A)$  なる半径方向補剛材を設置するとき、式(1)の補剛材のひずみエネルギーを加える。

$$A_i = \frac{EI_i}{2} \int_A^B \left( \frac{\partial^2 w}{\partial r^2} \right)^2 dr \quad (1)$$



周辺単純支持の座屈曲面  $w = \sum \sum A_{mn} \sin \frac{m\pi r}{R} \sin \frac{n\pi \theta}{B}$  を全ポテンシャルエネルギーに代入し固有方程式を導くと

$$\left\{ \sum_m A_{mg} R_{mmg} + \sum_p A_{pg} S_{mnpg} \right\} - k \left\{ A_{mn} B_{mmn}^{(1)} + \sum_g A_{mg} B_{mmng}^{(2)} + \sum_g A_{mg} B_{mmng}^{(3)} + \sum_p \sum_g A_{pg} B_{mnpq}^{(4)} \right\} = 0 \quad (2)$$

ここで、 $k = \frac{M}{D}$  であり、 $R_{mmng}$ ,  $B_{mmn}^{(1)}$ ,  $B_{mmng}^{(2)}$ ,  $B_{mmng}^{(3)}$ ,  $B_{mnpq}^{(4)}$  は、(1)のとおりである。

また、半径方向補剛材が工本設置されているとき

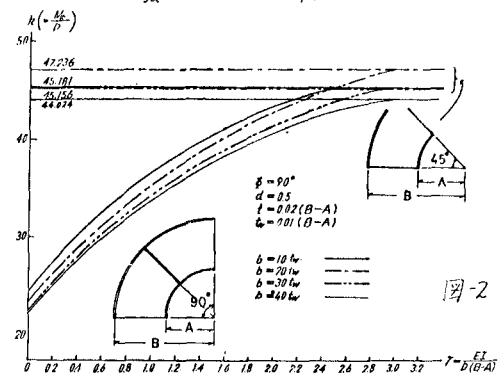
$$S_{mnpq} = 2(1-d) n g \left( \frac{\pi}{B} \right)^2 \left[ 1 - (-1)^{n+g} d^{-3} \right] \times \left[ \frac{27 + 12(n^2 + g^2)(\frac{R}{d})^2 + 6n^2 g^2 (\frac{R}{d})^4 + (n^2 - g^2)(\frac{R}{d})^4}{(9 + (\frac{(n-g)^2 \pi^2}{d^2})(9 + (\frac{(n+g)^2 \pi^2}{d^2}))} \right] \times \sum_{l=1}^L \beta_l \sin \frac{m\pi r}{R} \sin \frac{pl\pi \theta}{B}$$

## 4. フランジ幅が異なるときの剛比と座屈値

図-2は、中心角 90° で 45° の箇所に半径方向補剛材を 1 本設置した 径比  $A/B = 0.5$  の扇形腹板に、曲げモーメントのみ載荷したときの剛比と座屈値の関係を描いたものであり、次式で表わされる。

$$k = 10 t_w \quad k = -24.19 \lambda^2 + 14.11 \lambda + 24.92$$

$$k = 20 t_w \quad k = -1.833 \lambda^2 + 13.16 \lambda + 23.87$$



$$b = 30 \text{ t}_{\text{w}}$$

$$\beta = -1.770 \beta^2 + 12.68 \beta + 23.20$$

$$b = 40 \text{ t}_{\text{w}}$$

$$\beta = -2.007 \beta^2 + 13.17 \beta + 22.60$$

図-2において、曲線の交点は、中心角  $45^\circ$  の場合の座屈値であり、交点における剛比よりも大きな補剛材を設置しても効果がないことを示す。ただし、 $b$ ; フランジ幅、 $t$ ; フランジ厚、 $t_{\text{w}}$ ; 腹板厚である。

### 5. 半径方向補剛材の必要剛比

図-3は、 $b=40 \text{ t}_{\text{w}}$  のとき、径比を変化させたときの関係を示したものであり、これより図-4の必要剛比曲線が式(3)で決定される。

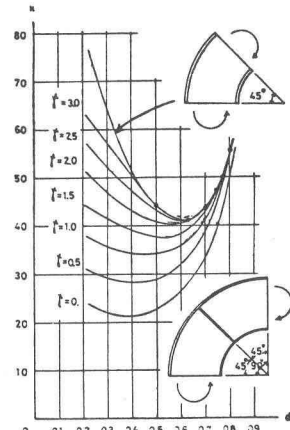


図-3

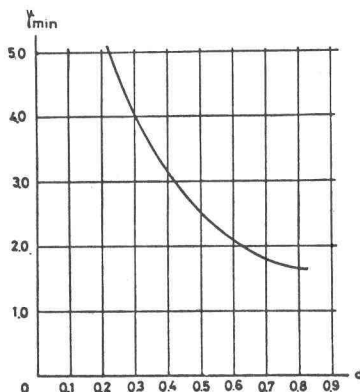
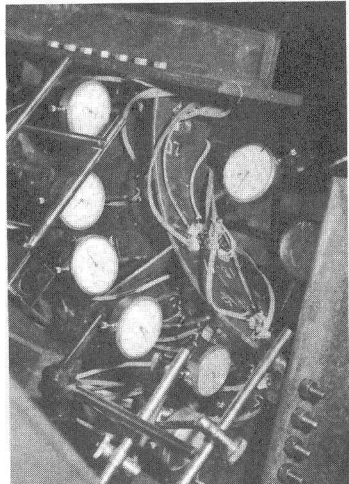


図-4

$$\lambda_{\min} = 2.14 + \frac{0.18}{d^2} - 1.43 d^2 \quad (3)$$

写-1



### 6. 実験

写真のように、鋼材SS41、腹板厚  $23 \text{ mm}$ 、フランジ厚  $45 \text{ mm}$ 、フランジ幅  $92 \text{ mm}$  の試験体に、三軸ロゼットストレインゲージを貼り、同時にダイアルゲージを設置して面外の変位を測定した。座屈の判定は、面外変位および合成応力度一作用外力図における曲線の変曲点より推定を行った。その結果、実験値は、理論値よりも約2割大きくなかった。また、フランジ部の座屈は、みられなかった。

### 7. あとがき

本解析および実験より次のことが結論としていえる。

- ①. 半径方向補剛材の必要剛比が、式(3)のよう決定され經濟的な設計を行なうことができる。
- ②. 扇形腹板においては、円弧方向補剛材よりも、半径方向補剛材の方が大きく部材も少なくて済む。
- ③. フランジがある場合の扇形腹板の耐荷力が問題になるときは、フランジ部の座屈が問題になる。従って、本解析、実験で用いたフランジ幅、フランジ厚より薄いものでは、注意を要する。

### 参考文献

- 1). 渡辺, 川上, 塚; フランジを有する扇形腹板の座屈について; 土木学会北海道支部研究発表論文集 29
- 2). 渡辺, 川上; 扇形腹板の座屈値について; 土木学会第28回年次講演会: I-26
- 3). 渡辺, 川上, 塚; ラーメン隅角部の腹板の座屈値について; 土木学会第27回年次講演会, I-79